



Hochschule für Angewandte Wissenschaften Hamburg
Hamburg University of Applied Sciences

Bachelorarbeit

Moritz Mustermann

Softwareentwicklung im Großen und Ganzen

*Fakultät Technik und Informatik
Studiendepartment Informatik*

*Faculty of Engineering and Computer Science
Department of Computer Science*

Moritz Mustermann

Softwareentwicklung im Großen und Ganzen

Bachelorarbeit eingereicht im Rahmen der Bachelorprüfung

im Studiengang Bachelor of Science Angewandte Informatik
am Department Informatik
der Fakultät Technik und Informatik
der Hochschule für Angewandte Wissenschaften Hamburg

Betreuender Prüfer: Prof. Dr. Erstprüfer
Zweitgutachter: Prof. Dr. Zweitprüfer

Eingereicht am: 1. Januar 2345

Moritz Mustermann

Thema der Arbeit

Softwareentwicklung im Großen und Ganzen

Stichworte

Schlüsselwort 1, Schlüsselwort 2

Kurzzusammenfassung

Dieses Dokument ...

Moritz Mustermann

Title of the paper

Developing software in Germany

Keywords

keyword 1, keyword 2

Abstract

This document ...

Inhaltsverzeichnis

0.1	Motivation	1
0.2	Simulationsmodell	1
0.2.1	Annahmen	1
0.2.2	Übersicht der Modellteile	3
0.2.3	Flugsteuerung	4
0.2.4	Flugmodell	4
0.2.5	Verifikation	9
0.3	Experiment & Diskussion	11
0.3.1	Versuchsreihen	11
0.3.2	Analysetool	12
0.3.3	Ergebnisse	13
0.3.4	Zusammenfassung	18
0.4	Ausblick	20
0.5	Fazit	20

Listings

0.1 Motivation

In den letzten zwei Jahrzehnten gibt es immer konkretere Bemühungen, den Mars zu besuchen. Neben den erfolgreichen Rovermissionen der NASA ist zum Zeitpunkt der Erstellung dieser Arbeit unter anderem auch ein indisches Pendant auf dem Weg zum Mars. Mehrere Länder(verbündete) planen konkret an bemannten Mars Missionen. Spätestens, sobald eine Kolonie auf dem Mars entsteht (vermutlich aber deutlich früher) wäre es notwendig, regelmäßig Fracht Richtung Mars bringen zu können.

Die Marsatmosphäre konfrontiert Missionsplaner und Ingenieure nach wie vor mit einer großen Herausforderung. Sie ist dicht genug, um die Flugbahn eindringender Objekte massiv zu beeinflussen. Auf dem Mars herrscht ein Klima mit Jahreszeiten und starken Winden. Gleichzeitig bietet sie nicht genug Widerstand, um ausreichend zu bremsen. Deshalb ist ein Ziel, die Interaktionen von landenden Objekten mit hoher Genauigkeit vorhersagen zu können.

Diese Arbeit behandelt demgemäß die Forschungsfragen: Wie bestimmend ist der Einfluss des Gleitfaktors (englisch: Lift-To-Drag Ratio) auf Trajektorien bei Landungen auf dem Mars? Welche der entstehenden Flugbahnen sind unter der Berücksichtigung der wirkenden Kräfte realistisch? Um diese Fragestellung zu untersuchen, wurde ein Simulationsmodell der Marsatmosphäre und anderer wirkender Einflüsse implementiert.

Das nächste Kapitel beschreibt das entworfene Simulationsmodell. In Kapitel 0.3 werden die aktuellen Ergebnisse der durchgeführten Simulationsdurchläufe vorgestellt. Einen Ausblick auf weitere Entwicklungsmöglichkeiten liefert das Kapitel 0.4.

0.2 Simulationsmodell

Dieses Kapitel beschreibt das verwendete Simulationsmodell im Detail. Der Abschnitt 0.2.1 erwähnt allgemeine Annahmen für das Modell. Dazu gehören Missionen, die als Referenzen dienen. Nebenbei werden einige häufig genutzte Begriffe und Abkürzungen eingeführt. Die Abschnitte 0.2.2, 0.2.3 und 0.2.4 beschreiben das eigentliche Simulationsmodell. Im letzten Abschnitt (0.2.5) wird der Verifikationsprozess angeschnitten.

0.2.1 Annahmen

Referenzmissionen Seit 1960 gab es zahlreiche erfolgreiche (und fehlgeschlagene) Missionen zum Mars und seinen Satelliten. Der Rechercheaufwand für genaue Details einzelner Missionen ist sehr hoch, so dass im Rahmen dieser Arbeit eine Begrenzung vorgenommen werden muss. Die NASA Lander Missionen seit Viking 1 (1975) sind am zugänglichsten

dokumentiert und weisen die höchste Erfolgsquote auf. Zudem haben sie gut vergleichbare, da aufeinander aufbauende, LandeprozEDUREN. Aus diesen Gründen dienen ausschließlich diese als Referenz für viele Annahmen dieses Modells. Das Hauptaugenmerk liegt dabei auf der letzten Mars Exploration Rover (MER) Mission, Mars Science Laboratory (MSL), die erfolgreich den knapp eine Tonne schweren Rover Curiosity absetzte. Diese ist besonders wegen der bisher größten Nutzlast die interessanteste Mission.

Das für alle Missionen einheitliche Schema für die Landungen wird Entry, Descent, Landing (EDL) genannt. Der Begriff unterscheidet drei Phasen während eines Landevorgangs, die alle bisherigen Missionen teilen. In der Entry-Phase dringt eine Aeroshell genannte Kapsel in die obere Marsatmosphäre ein. Sie benötigt dafür einen hoch effektiven Hitzeschild, da die kinetische Energie der Kapsel durch Luftreibung fast vollständig¹ in Hitze umgewandelt wird. Je nach Eintrittswinkel und Geschwindigkeit hat die Kapsel dabei einen Angriffswinkel relativ zur Anströmrichtung. Dieser ermöglicht es, Auftrieb zu erzeugen. Bei der MSL-Landung wurde zum ersten Mal die Fluglage aktiv kontrolliert, um spontan auf unplanbare Einflüsse, insbesondere auf Wind, reagieren zu können.

Sobald die Geschwindigkeit auf supersonische Größen gefallen ist, wird ein Fallschirm ausgeworfen. Dieser reduziert die Fallgeschwindigkeit nochmal deutlich und lenkt die Flugrichtung Richtung Boden. Die Landing-Phase ist bei den Missionen sehr unterschiedlich. Da der Fallschirm nicht ausreichend bremst, müssen Restgeschwindigkeiten in der Größenordnung von $100 \frac{m}{s}$ abgebremst werden. Hierbei spielten bisher immer Bremsraketen eine Rolle. Im Detail unterscheiden sich die letzten Schritte. Zum Beispiel wurde bei der Pathfinder Mission nach Nutzung der Bremsraketen ein mit Airbags geschützter "Ball" fallen gelassen. Im Vergleich dazu stabilisierte sich bei der MSL Landung ein "Sky Crane" und ließ den Rover an Seilen herunter. Im Simulationsmodell wird sich eng an das beschriebene EDL-Schema gehalten.

Landegerichte Um besonders für den Verifikationsprozess möglichst vergleichbar zu sein, kopiert die angenommene Landekapsel im wesentlichen das Design des EDL Systems der Mars Science Laboratory Mission. Sie ist beladen genauso schwer wie das Original, hat eine vergleichbare Stärke der Bremsraketen, für die exakt gleiche Menge Treibstoff mit sich und benutzt den selben Fallschirm. Anders als bei der Curiosity-Mission (MSL) wird allerdings die ganze Kapsel auf dem Boden aufgesetzt. Dies scheint grundsätzlich auch für eine Kapsel der Größe des MSLs möglich zu sein, da vorherige Missionen mit kleineren Kapseln so

¹MSL: > 99% ?

verfahren. Auch gibt die NASA als Hauptgrund für das komplizierte "Sky-Crane"-Manöver das Vermeiden des Aufwirbelns von Staub an².

Allgemeine Annahmen Das Koordinatensystem des Modells ist 2-dimensional. Das ist notwendig, da eindimensionale Berechnungen zu fernab der Realität sind. Insbesondere der Eintrittswinkel spielt eine entscheidende Rolle. Übersteigt dieser deutlich 20° , was den eindimensionalen Fall annähert, ist die zurückgelegte Strecke in nennenswerter Atmosphäre grundsätzlich zu kurz, um die üblichen Geschwindigkeiten abzubremsen. Dies wurde in früheren, eindimensionalen, Versionen des Modells recht deutlich. Das Modell nimmt darüber hinaus die Oberfläche des Mars als flach an. Der Vektor $(0, 1)^T$ beschreibt per Konvention die Richtung vom Marsmittelpunkt nach oben.

0.2.2 Übersicht der Modellteile

In diesem Abschnitt wird das Simulationsmodell vorgestellt. Das Modell wurde vollständig in MATLAB/Simulink³ realisiert. Bei dieser Version des Modells handelt es sich um eine zweite Version. In der ersten wurden große Teile des Modells in so genannten MATLAB Functions⁴ ausgedrückt. Diese Vorgehensweise scheint nicht der bevorzugte Weg für MATLAB zu sein. Insbesondere beim automatisierten Linearisieren des Modells entstanden häufig Fehler. Die Erkenntnisse wurden in die zweite (hier vorgestellte) Version übertragen. Dieses Modell wurde von Anfang an als 2-D Version konzipiert. Insbesondere wurde versucht, wann immer möglich, Zusammenhänge über die von MATLAB angebotenen Signal Blocks auszudrücken.

Die Simulation ist in einer für Simulink typischen System-Subsystem-Struktur hierarchisch aufgebaut. Auf höchster Ebene unterscheiden sich die Flugsteuerung und das Flugmodell. Die Flugsteuerung hat zur Aufgabe, über die zur Verfügung stehenden Aktuatoren regelnden Einfluss auf den Flug zu nehmen. Hierzu überwacht es einige Kernparameter, wie die aktuelle Höhe.

Dem gegenüber steht das Flugmodell. Es modelliert die wirkenden physikalischen Kräfte und ihre Auswirkung auf wichtige Größen. Die Steuerbefehle der Flugsteuerung beeinflussen diese. Zusammen bilden die beiden Komponenten einen (indirekten) Regelkreis.

²<https://www.youtube.com/watch?v=h2I8AoB1xgU>

³<http://de.mathworks.com/products/simulink/>

⁴<http://de.mathworks.com/help/simulink/slref/matlabfunction.html>

0.2.3 Flugsteuerung

Die Flugsteuerung wiederum hat zwei erwähnenswerte Unterteilungen. Zum einen gibt es die Überwachung der Flugphasen. Diese orientiert sich stark an den Referenzmissionen. Sie ist intern als Deterministischer Endlicher Automat modelliert. Im Unterschied zur Realität hat



Abbildung 0.1: Landephasen

diese Phasenplanung keinerlei "Sicherheitsabstände" zwischen den Flugphasen. Stattdessen finden Übergänge ohne Zeitverzögerung statt. Auch wurden alle Events ausgelassen, die das Gewicht oder den Schwerpunkt des Landesystems verändern.

Der zweite Teil der Flugsteuerung ist das Controller-Setup. Sobald die "powered descent" Landephase beginnt, wird die verbleibende Flughöhe als Signal in einen PID-Regler gespeist. In Reaktion auf dieses Signal bestimmt dieser Stärke der Triebwerke. Das Controller-Setup bildet während der "descent" Phase zusammen mit dem Flugmodell einen vollständigen Regelkreis.

0.2.4 Flugmodell

Das Flugmodell berechnet die tatsächliche Physik des Fluges. Es besteht aus vier Teilsystemen, welche nun im Detail vorgestellt werden: Transform, Schwerkraft, Atmosphäreninteraktion und Triebwerke.

Transform Das Transform verwaltet die drei Variablen Geschwindigkeit, Position und Rotation. Das System hat als Parameter den aktuellen Beschleunigungsvektor. Die Beschleunigung entspricht der Summe der Einzelbeschleunigungen der anderen drei Blöcke. Die Geschwindigkeit ist das Integral der Beschleunigung, die Position integriert entsprechend die Geschwindigkeit.

Die Rotation hingegen ist nicht als unabhängige dynamische Größe modelliert. Sie wird als optimal geregelt, i.e. immer der aktuellen Tangente des Flugtrajektors entgegengesetzt, angenommen. Entsprechend wird die Rotation als ein Vektor \vec{r} dynamisch aus dem aktuellen Geschwindigkeitsvektor \vec{v} berechnet als $\vec{r} = -\frac{\vec{v}}{|\vec{v}|}$.

Gravitation Die Beschreibung der Gravitationswirkung ist aus der allgemeinen Formel für die Gravitationskraft,

$F = G \frac{m_1 \cdot m_2}{r^2}$ (0.1) abgeleitet. Sie berücksichtigt die Masse des Mars $m_M = 5.9724 \cdot 10^{24} \text{ kg}$, die Masse der Landekapsel $m_K = 2401 \text{ kg}$ und die dynamische Masse des Treibstoffs m_T , die zwischen 0 und 390 kg liegen kann. Mit $F = m \cdot a$ berechnet sich der Beschleunigungsvektor \vec{a}_G wie folgt.

$$G = G \frac{m_M \cdot (m_K + m_T)}{r^2} \cdot \frac{1}{m_K + m_T} \cdot \begin{pmatrix} 0 \\ -1 \end{pmatrix} \quad (0.2)$$

Triebwerke Weitere Beschleunigung erfährt die Kapsel potentiell durch das Antriebssystem. Antriebssysteme definieren sich direkt durch ihre Schubkraft F_T . Diese ist laut Herstellerangaben zusammengerechnet 24.8 kN

Die auf Bildern angedeutete Neigung der verschiedenen Triebwerke am MSL ist hierbei abstrahiert. Auch die Positionierungen der Düsen (und damit die potentiell entstehenden Momente) wurden zugunsten einer niedrigeren Komplexität zu einem gebündelten Strahl, der im Schwerpunkt greift, vereinfacht. So ist die Beschleunigung mit dynamischem Gewicht $a_T = \frac{F_T}{m_K + m_T}$.

Allerdings muss die Stärke für die Flugsteuerung einstellbar sein. Um dies zu berücksichtigen, wird die Kraft mit dem Parameter $t \in \{t | t \in \mathbb{R} \wedge 0 \leq t \leq 1\}$ multipliziert. Um den Realismus des Triebwerkes deutlich zu erhöhen, wird der Parameter t allerdings nicht direkt benutzt. Das Signal der Flugsteuerung wird stattdessen um 200 ms verzögert und simuliert mit Hilfe einer Transfer Function ein Sättigungsverhalten. Notiert man die Verzögerung $d(\text{elay})$ und die Sättigung $s(\text{aturation})$ als Funktionen auf der gewünschten Leistung, ergibt sich die in Gleichung 0.3 beschriebene Berechnung des Beschleunigungsvektors. \vec{r} ist dabei der unter 0.2.4 definierte, normalisierte, Richtungsvektor der Kapsel.

$$T = \frac{d(s(t))F_T}{m_K + m_T} \cdot \vec{r} \quad (0.3)$$

Interaktion mit der Atmosphäre Der komplexeste Teil des Modells beschreibt die Interaktion mit der Atmosphäre. Es werden zwei resultierende Kräfte berechnet. Die erste ist der Luftwiderstand, dem die Kapsel immer ausgesetzt ist. Zusätzlich kann, je nach Form und Angriffswinkel, dynamischer Auftrieb erzeugt werden. Die Berechnung beider Kräfte basiert auf einem Atmosphärenmodell, dass den Luftdruck in Abhängigkeit von der Höhe annimmt. Von hoher Relevanz, zum einen auf Grund ihrer starken Auswirkung, zum anderen in Anbetracht der Fragestellung, sind die Flugparameter, die sich je nach Flugphase stark ändern können. Die Teilsysteme werden nun in dieser Reihenfolge beschrieben.

Kräfteberechnung Auf die detaillierte Berechnung der Strömungsarten wurde auf Grund der schlechten Quellenlage und dem Fokus, sowie Umfang der Arbeit verzichtet. Die zugrunde liegende Komplexität drückt sich allerdings abgeschwächt in den dynamischen Parametern aus. Es gelten die allgemeinen Gleichungen für Luftwiderstand und -auftrieb setzen eine Reihe von Größen in Beziehung. Der dimensionslose Luftwiderstandsbeiwert c_W beschreibt, zu welchem Anteil die Reibung durch Druck auf die dem anströmenden Gas zugerichtete Fläche verursacht wird und wie viel durch die am Körper entlang streifende Strömung entsteht. Die relative Geschwindigkeit zum Gas v ist die dominierende Größe, da sie quadratisch eingeht. Zuletzt ist der Widerstand von der Fläche abhängig. Hierbei ist zu beachten, dass die Querschnittsfläche senkrecht zur Anströmungsrichtung gemeint ist. Wölbungen auf der Achse der Anströmrichtung drücken sich nicht in der Fläche aus, sondern im c_W , beziehungsweise c_A -Wert.

$$F_W = c_W \cdot \frac{\rho}{2} \cdot v^2 \cdot A \quad (0.4) \text{ und Auftrieb:}$$

$F_A = c_A \cdot \frac{\rho}{2} \cdot v^2 \cdot A \quad (0.5)$ Die korrespondierenden Beschleunigungsvektoren \vec{a}_W und \vec{a}_A berechnen sich analog zu den bisher betrachteten Teilsystemen. Die Richtung der Kraft, die durch den Luftwiderstand ausgeübt wird, ist (wie die der Triebwerke) der Flugrichtung \vec{r} (siehe 0.2.4) genau entgegengesetzt.

$$\vec{W} = \frac{c_W \cdot \frac{\rho}{2} \cdot v^2 \cdot A}{m_K + m_T} \cdot \vec{r} \quad (0.6)$$

Im Gegensatz dazu wirkt die Auftriebkraft genau senkrecht zur Anströmungsrichtung. Es gibt (in einem 2-dimensionalen Koordinatensystem) zwei mögliche perpendikulare Vektoren zur Anströmungsrichtung. Wie bei der Rotation geht das Modell davon aus, dass

die Fluglageregelung perfekt arbeitet. Deshalb wird angenommen, dass die Auftriebskraft, so vorhanden, immer in die Richtung jenes Vektors der beiden möglichen zeigt, der nach "oben" (horizontale Lage), respektive "rechts" (vertikale Lage) orientiert ist. Letzteres könnte ein ungewolltes Simulationsartefakt verursachen. Dieses tritt jedoch nicht auf, da die Auftriebskraft ohnehin nur im hypersonischen Flug berücksichtigt wird. Die Richtung der Auftriebskraft \vec{l} ist also der um 90 Grad rotierte Richtungsvektor \vec{r} . Die Gleichung für den resultierenden Beschleunigungsvektor \vec{a}_A sieht der für den Luftwiderstand sehr ähnlich.

$$\vec{a}_A = \frac{c_A \cdot \frac{\rho}{2} \cdot v^2 \cdot A}{m_K + m_T} \cdot \vec{r} \quad (0.7)$$

Atmosphärenmodell Das verwendete Atmosphärenmodell basiert stark auf dem NASA Vorschlag [7]. Es besteht aus einer Kombination von Funktionen, die Daten der Mars Global Surveyor im April 1996 annehmen. Es unterscheidet zwei Höhenbereiche: über 7000m und darunter. Beide Schichten sind strukturell gleich modelliert, nur unterschiedlich parametrisiert. Es gibt zwei Basisfunktionen, die abhängig von der Höhe sind. Die lineare Funktion $T(h)$ berechnet die Temperatur (°Celsius) für die gegebene Höhe h (m). $p(h)$ tut dasselbe für den exponentiellen Druck (kPa). Um die daraus resultierende Dichte zu berechnen, werden diese beiden Werte in der Funktion $\rho(h)$ zusammengeführt. $p(h)$ und $\rho(h)$ sind höhenunabhängig

$$p(h) = 0,699 \cdot e^{-0,00009 \cdot h} \quad (0.8)$$

$\rho(h) = \frac{p(h)}{R \cdot (T(h) + 273,15)}$ mit $R = 0,1921$. Für Höhen über 7000m definiert das Originalmodell nun $T(h) = -23,4 - 0,00222 \cdot h$. Für Höhen unter 7000m ändern sich die Parameter auf $T(h) = -31 - 0,00222 \cdot h$ und $p(h) = 0,699 \cdot e^{-0,00009 \cdot h}$.

Betrachtet man die Definition, ist zunächst die Definitionslücke für den Wert 7000m auffällig. Dies kann recht einfach behoben werden, indem einer der Bereiche erweitert wird. Im finalen Modell ist die untere Schicht einschließlich 7000m definiert. Analysiert man die bestehende Funktion weiterhin (Abbildung 0.2), zeigen sich zwei weitere bemerkenswerte Eigenschaften. Zum einen gibt es eine Singularität beim Wert 112550m herum. Aus diesem Grund wird der Output im finalen Modell zwischen null und 0,02 (Durchschnittswert an der Oberfläche) begrenzt. Das Clamping ist aber auch aus einem anderen Grund notwendig: Ab ungefähr der selben Höhe fällt die angegebene Dichte unter null, was physikalisch

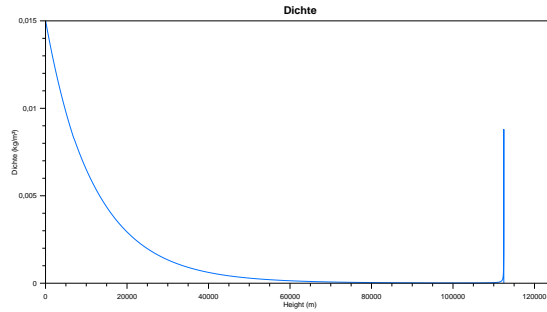


Abbildung 0.2: Dichte nach Höhe

Bedingungen	A	c_W	c_A
$v > 2$	$15,9m^2$	1,68	$c_W \cdot L/D$
$v \leq 2 \wedge f \wedge i$	$189,79m^2$	1,33	0
$v \leq 2 \wedge \neg f \wedge i$	$15,9m^2$	0,34	0
$v \leq 2 \wedge f \wedge \neg i$	$15,9m^2$	0,35	0
$v \leq 2 \wedge \neg f \wedge \neg i$	$15,9m^2$	0,34	0

Abbildung 0.3: Belegung der Parameter nach Zustand

undefiniert ist. Anscheinend wurde das Modell nicht für Höhen über 110km entworfen. Die berechneten Temperaturwerte, die im Atmosphärenmodell als Zwischenergebnisse anfallen, dienen der Flugsteuerung außerdem zur Berechnung der Schallgeschwindigkeit.

Dynamische Parameter Die Bedeutung der Parameter wurde bereits angerissen. In diesem Abschnitt wird beschrieben, wie ihre Belegung in Abhängigkeit vom Flugzustand variiert. Die Tabelle 0.6 zeigt eine Übersicht der Belegungen in Abhängigkeit zu den Variablen v = Geschwindigkeit in Mach, f = Fallschirm aktiviert, sowie i = Fallschirm ist intakt. Im Folgenden werden die getroffenen Annahmen und Quellen für diese beschrieben.

Der Strömungswiderstandskoeffizient c_W ist in erster Linie von der Form des beschriebenen Gegenstands abhängig, aber auch von der herrschenden Art der Luftreibung. Diese wiederum hängt stark mit der Geschwindigkeit, der herrschenden Temperatur und dem Druck zusammen. Diese Zusammenhänge sind nur in einer groben Auflösung im Simulationsmodell abgebildet. Die meisten Teilaspekte sind eigene Forschungsthemen für sich (? , ? , ? , ?). Ihre Lösungen müssen häufig mit Finite-Elemente-Simulationen angedeutet werden. In diesem Modell wird nicht versucht, diese Untersuchungen nachzustellen. Allerdings werden ihre Ergebnisse berücksichtigt. ? als zuverlässigste Quelle arbeitet mit der Annahme, der hypersonische c_W für eine Aeroshell wie beim MSL liege bei konstant bei 1,68. Zu den

anderen Phasen, insbesondere in der Nähe der Schallmauer, gab es leider keine Angaben. Deswegen wird der Koeffizient für Geschwindigkeiten unter Mach 2 mit einer konvexen Halbkugelschale approximiert ($c_W = 0,34$). Es gibt jedoch eine Ausnahme. Wurde der Fallschirm vorher bei einer Geschwindigkeit über Mach 2.2 ?? entfaltet, wird er beschädigt und bremst nun nur noch minimal. In diesem Fall ist der $c_W = 0,35$. Wenn der Fallschirm korrekt entfaltet ist, wird der c_W -Wert des gesamten Fallschirm-Kapsel-Gespanns als 1,33 angenommen. Dies entspricht der konkaven Seite einer Halbkugel und kommt im subsonischen Bereich der Realität ziemlich nahe. Zu den super- und transsonischen Eigenschaften sind dem Autor keine Quellen bekannt. Im Modell ausgelassen sind damit einige Spezialeffekte, die vorstellbar wären, wie z.B. der Einfluss von Verwirbelungen der Kapsel auf den Luftstrom, der auf den Fallschirm trifft.

Die Gründe, warum sich die Fläche verändert, sind ähnlich denen beim Widerstandskoeffizienten. Im hypersonischen Flug wird ausschließlich die Kapsel umströmt. Der einzige Unterschied ist, dass die Fläche sich in größerer Überschallgeschwindigkeit nicht ändert. Es wird jederzeit von einem perfekt kreisförmigen Querschnitt ausgegangen. Deshalb ist in diesem Fall $A = \pi \cdot r^2 \sim 15,9m^2$ für den MSL Aeroshell Radius von $2,25m$?. Ist der Fallschirm aktiv und intakt, wird die Fläche mit Hilfe des Radius des MSL Vorbilds $r = 7,78m$? auf circa $\sim 189,79m^2$ berechnet. Sollte der Fallschirm hingegen beschädigt sein, bleibt als Fläche die "normale" Kapselfläche.

Die letzte Größe mit Abhängigkeit zur Flugphase ist der Auftriebskoeffizient c_A . In der betrachteten Literatur wird (für die hypersonische Flugphase) nur die lift-to-drag ratio $L/D = \frac{c_A}{c_W}$ angegeben. Aus diesem Verhältnis ergibt sich $c_A = L/D \cdot c_W$. Für die MSL Aeroshell beträgt der L/D 0,24 ?, ?. Zum c_A bei trans- oder subsonischem Flug waren keine Quellen auffindbar. Aus diesem Grund ist c_A für Geschwindigkeiten $< \text{Mach } 2$ grundsätzlich auf 0 festgelegt, obwohl theoretisch bei Unterschallgeschwindigkeit deutlich größere L/D erreichbar sind, als im hypersonischen Bereich.

0.2.5 Verifikation

Das Simulationsmodell wurde mehrfach auf Mikro- wie auf Makroebene auf Korrektheit überprüft. Einige der Verifikationskriterien werden hier beschrieben. Auf Mikroebene kann zunächst das Problem auf das Prüfen der Korrektheit einzelner Systemteile herunter gebrochen werden. Entsprechend wurden die Einzelsysteme in verschiedenen Simulationsläufen getrennt untersucht. Das Atmosphärenmodell wurde direkt von der NASA übernommen. Zu prüfen ist hier also mehr die Korrektheit als. Zu diesem Zweck wurde dessen Berechnungen unabhängig vom Simulationsmodell geplottet (s. 0.2.4) und mit real gemessenen Daten ?

verglichen. Um die anderen Systemteile zu testen, wurden die jeweils anderen Modellteile abgeschaltet, so dass die Wirkung der Einzelsysteme sichtbar wird. Durch provozieren bestimmter Situation, deren Verlauf bekannt ist, wurde außerdem das Vorhandensein bestimmter gewollter Artefakte überprüft. Ein Beispiel für so ein gewolltes Artefakt ist der plötzliche Absturz bei einem Landeversuch, wenn der Treibstoff vor der Landung zuneige geht.

Wie erwähnt wurden fast alle Parameter der simulierten Mission gleich denen des MSL gehalten. Dies hat zur Folge, dass man direkte Vergleiche zu den Aufzeichnungen und Simulationen der NASA ziehen kann. Die Untersuchung auf Makroebene spricht für eine hohe Validität des Modells. Beispielsweise ein Vergleich der Höhe in Abhängigkeit von der Geschwindigkeit im Original (0.4) verglichen mit dem Simulationsergebnis (0.5)

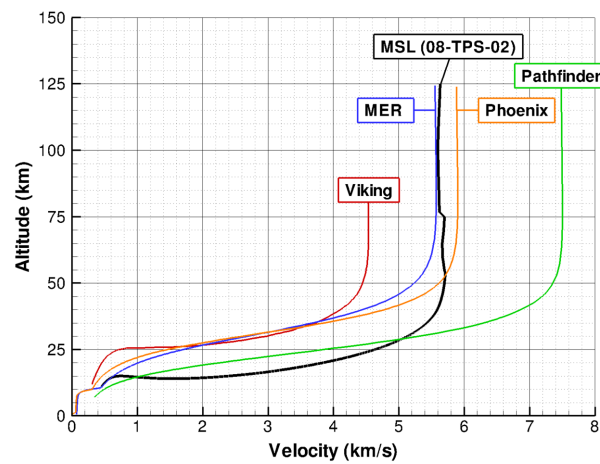


Abbildung 0.4: Höhe nach Geschwindigkeit mit MSL Parametern

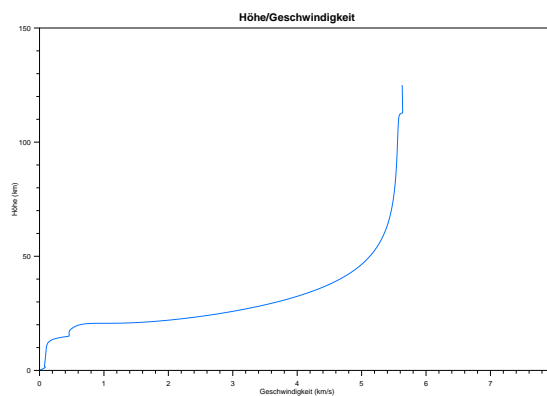


Abbildung 0.5: Höhe nach Geschwindigkeit mit MSL Parametern

Parameter	Minimum	Maximum	Schrittweite
L/D	0	0.3	0.05
α	5	45	5
v	4000	8000	1000

Abbildung 0.6: Simulationsparameter

0.3 Experiment & Diskussion

In diesem Kapitel werden die Ergebnisse der Simulation ausgewertet. Um den Einfluss der verschiedenen Parameter auf die Simulationsergebnisse zu untersuchen, wurden eine Reihe von Testreihen berechnet und ausgewertet. Der erste Abschnitt 0.3.1 erklärt den Aufbau und die Durchführung der Testreihen. Der Autor entwickelte zum Untersuchen der Ergebnisse ein kleines Analysetool, welches im Abschnitt 0.3.2 kurz vorgestellt wird. Der Abschnitt 0.3.3 stellt dann die Ergebnisse detailliert vor und diskutiert diese. Zuletzt werden die Erkenntnisse zusammengefasst.

0.3.1 Versuchsreihen

Für die Berechnung der Ergebnisse wurden (neben den Iterationen für die Verifikation) die zentralen Versuchsreihen durchgeführt, die verschiedene Szenarien für den Eintritt in die Atmosphäre durchspielen. Von besonderer Bedeutung sind entsprechend der Fragestellung besonders die auf die Kapsel wirkenden Kräfte und das Ende eines Simulationslaufes. Als Anfangspunkt der Simulationen wird jeweils eine Höhe von $125.000m$ angenommen, da auf dem Mars in dieser Höhe die ersten Ausläufer der Atmosphäre messbar werden.

Die variierenden Parameter der Simulation sind die Gleitzahl oder englisch Lift-To-Drag-Ratio L/D , der Eintrittswinkel α und die Eintrittsgeschwindigkeit v . Um die resultierenden Kräfte in Abhängigkeit von den Parametern zu testen, wurden die Parameter in gleichmäßigen Schritten miteinander kombiniert. Tabelle 0.6 führt die verwendete Rasterisierung der jeweiligen Wertebereiche auf. In allen Kombinationen ergibt sich daraus eine Gesamtzahl von 120 Simulationen.

Die entstehenden Werte sind vierdimensional. Der für die Verifikation noch gangbare Ansatz, die Simulationsparameter in MATLAB von Hand einzutragen und die Ergebnisse mit Hilfe der Bordmittel zu untersuchen, erwies sich für diesen Schritt als nicht mehr durchführbar. Deshalb wurde das Aufrufen der Simulationsdurchläufe in einem Script automatisiert. Das hat zur Folge, dass die Betrachtung der Ergebnisse nicht mehr sinnvoll innerhalb von Simulink

m glich ist. Sie werden in einer kodierten Struktur ins Dateisystem geschrieben und mit Hilfe des im n chsten Kapitel beschriebenen Simulationstools ausgewertet.

0.3.2 Analysetool

Das Tool unterst tzt die dynamische Auswertung der Simulationsdaten. Es erlaubt einem, beliebige Simulationen durchzuf hren und diese werden dann Kerngr  en des jeweiligen Landungsversuchs in scrollbaren Diagrammen aufbereitet. Als wahrscheinlich wichtigste Eigenschaft stellt es im Vergleich zu der Simulink Variante Diagramme mit normierten Achsen vor, was die Einordnung der vielen verschiedenen Kurven deutlich erleichtert. Auch werden wichtige Kennzahlen und Informationen dargestellt. Zu diesen Informationen geh rt unter anderem der Ausgang des Flugs (Landung, Absturz, bei Simulationende noch in der Luft), oder die letzte Geschwindigkeit. Neben den Daten, die zu einzelnen Simulationsl ufen

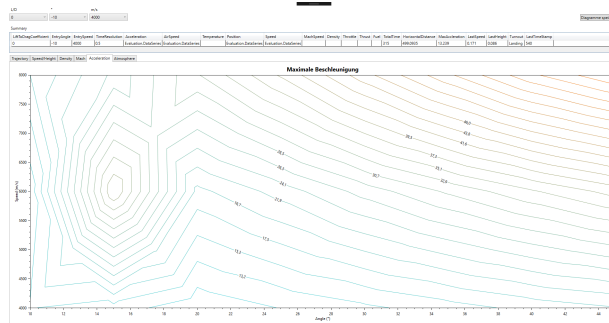


Abbildung 0.7: Screenshot des Analysetools

geh ren, generiert das Tool auch aggregierende Sichten auf die Daten. Allen voran war ein Ziel, eine aggregierende Sicht auf die wie erw hnt vierdimensionalen Daten Beschleunigung in G in Abh ngigkeit zu den Parametern L/D , α und v (s. 0.3.1). Alle erstellten Diagramme k nnen auch abgespeichert werden. Mit dieser Funktion wurden beinahe alle Diagramme dieser Arbeit erstellt. Das Tool benutzt die frei verf gbare OxyPlot⁵ Bibliothek zum Erstellen der Grafiken. Deshalb ist das Tool in C#/WPF erstellt. Der Sourcecode ist ebenfalls bei Ver ffentlichung frei⁶ verf gbar.

⁵<https://github.com/oxyplot/oxyplot>

⁶<https://github.com/jason-wilmans/mdp-mars-landing.git>

0.3.3 Ergebnisse

Dem Autor ist kein Weg bekannt, die Datensätze in vierdimensionaler Größe vollständig aggregiert darzustellen. Deshalb wurden sie entlang der unterschiedlichen L/D Werte aufgespalten. Dieser Abschnitt orientiert sich an den dadurch entstehenden, dreidimensionalen Paketen. Es folgt eine Betrachtung der Entwicklung der Ergebnisse für die L/D -Werte 0, 0, 1, 0, 2, und 0, 3.

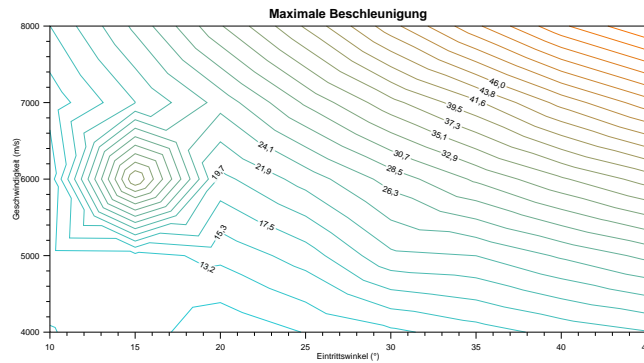


Abbildung 0.8: g -Kräfte für $L/D = 0$

$L/D = 0$ In Abbildung 0.8 ist die maximale, während des Fluges auftretende Kraft in Vielfachen der Erdbeschleunigung $g \simeq 9,81 \frac{m}{s^2}$ für eine L/D von 0 dargestellt. Das Diagramm ist dabei zu lesen wie eine Höhenkarte. An der x-Achse sind die simulierten Eintrittswinkel α von 10 bis 45° abzulesen. Die y-Achse ist mit den unterschiedlichen Geschwindigkeiten v beschriftet. Die Linien zeigen an, wie hoch der g -Wert für ein gegebenes Paar aus α und v ist. Die Farben gelten für alle Diagramme gleichermaßen und beziehen sich auf die insgesamt (also über alle Werte von L/D hinweg) ermittelten Minima und Maxima. Das leuchtendste Türkis steht für den kleinsten Wert ($\simeq 4,66$), das tiefste Rot für den höchsten ermittelten Wert ($\simeq 65,8$).

Zur Einordnung der Daten seien kurz einige Referenzwerte erwähnt: Fünf bis sechs g führen bei Menschen gewöhnlich zur vollständigen Bewusstlosigkeit. Der höchste als Schock ohne bleibende Verletzungen zu überstehende g -Wert liegt bei circa 100 ?. Allerdings ist immer der Zeitbezug zu berücksichtigen. Die erwähnten 5g können über längere Zeit wirken, ohne den Menschen nachhaltig zu beeinträchtigen. Über längere Zeit können 20g zum Beispiel zum Erstickten führen.

Man beachte, dass das Modell keine durch Aufschlag auf dem Boden entstehenden Kräfte abbildet. Diese würden durch ihre Extremwerte den Erkenntnisgewinn der Diagramme deutlich reduzieren ohne Genauigkeit hinzuzufügen. Abstürze⁷ werden grundsätzlich nicht als sinnvolle Trajektorien betrachtet.

Betrachten wir nun die Testreihe mit diesen Informationen im Hintergrund. Grundsätzlich steigt die maximale g -Kraft in Abhängigkeit von Eintrittsgeschwindigkeiten und Eintrittswinkel. Links unten sind die niedrigsten Werte, rechts oben die höchsten. Dies entspricht vermutlich auch der intuitiven Erwartung. Es zeigt sich allerdings ein lokales Maximum mit dem Zentrum bei $\alpha = 15^\circ$ und $v = 6000 \frac{m}{s}$. Die Maximalwerte liegen bei $65g$, die Minimalwerte bei 13 . Ein für diesen L/D -Wert typischer Trajektor ist der für die Werte $\alpha = 15^\circ$ und $v = 6000 \frac{m}{s}$, dargestellt in Abbildung 0.9. Charakteristisch ist eine leichte Abflachung,

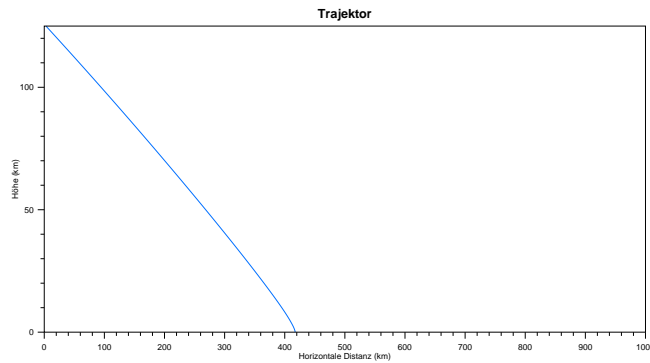


Abbildung 0.9: Flugbahn für $L/D = 0$, $\alpha = 15^\circ$ und $v = 6000 \frac{m}{s}$

die erst durch das Auslösen des Fallschirms deutlich verändert wird. Der dazugehörige Zeitpunkt ist auf dem Diagramm der g -Kräfte (Abbildung 0.10) gut erkennbar. Auffällig sind auf diesem Diagramm einige Artefakte der Modellierung. Zum einen der extreme Ausschlag bei 9 Sekunden, eine Folge der Singularität im Atmosphärenmodell (0.2.4). Dann der zweite, bei dem die Beschleunigung von $\simeq 1,6$ auf $112g$ springt. Dieser Sprung entsteht durch die Modellierung der dynamischen Parameter. Die letzte Grafik für diesen Absatz (0.11) überlagert alle Bahnen für $L/D = 0$. Die zusammenhängenden Graphen teilen sich jeweils den selben Eintrittswinkel.

$L/D = 0,1$ Ab $L/D = 0,1$ verändern sich die Flugbahnen deutlich. Die sonst streng konvexen Kurven bekommen in nach Winkel und Geschwindigkeit variierender Höhe eine konkave Form. Die Extrempunkte bewegen auf einer Höhe von $60 \pm 15 km$. Bei kleinen

⁷ Als Absturz wird jeder Bodenkontakt mit mehr als $2,5 \frac{m}{s}$ Restgeschwindigkeit gewertet.

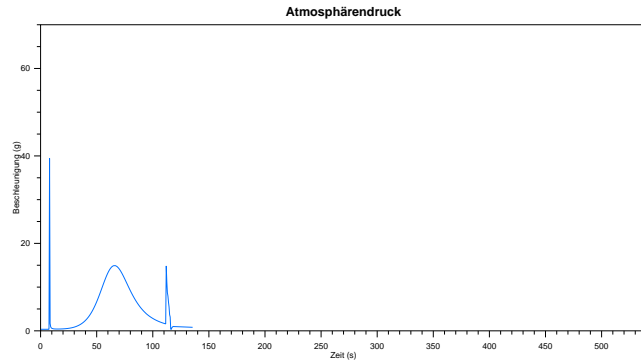


Abbildung 0.10: g -Kräfte für $L/D = 0$, $\alpha = 15^\circ$ und $v = 6000 \frac{m}{s}$

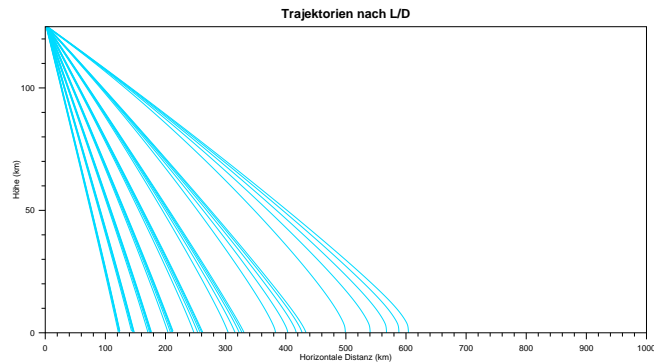


Abbildung 0.11: Alle Bahnen für $L/D = 0$

Winkeln und hohen Geschwindigkeiten beginnen sich "Stufen" zu bilden, bevor (in deutliche größerer Höhe als bei $L/D = 0$) der Fallschirm ausgelöst werden kann. Passend zu diesen Flugbahnen erhöhen sich die Flugzeiten und zurückgelegten Entfernungen. In Bezug auf die wirkenden Maximalbeschleunigungen bleibt die grundsätzliche Struktur erhalten. Die Fläche mit maximalen $g < 20$ verschiebt sich Richtung höherer Winkel und Geschwindigkeiten. Im Vergleich zu $L/D = 1$ bleibt nun die Kombination $\alpha = 22^\circ$ und $v = 6500$ unter $20g$. Gleichzeitig wird das lokale Maximum stärker. Der Wert für $\alpha = 15^\circ$ und $v = 6000 \frac{m}{s}$ steigt von $\simeq 37,3$ auf $\simeq 39,5$.

$L/D = 0,2$ Der bei $L/D = 0,1$ beobachtete Trend setzt sich bei $L/D = 0,2$ in allen Bereichen deutlich fort. Waren für $L/D = 0,1$ erst ab Winkeln von kleiner als 25° deutliche Abflachungen zu sehen, setzen diese nun schon bei 35° ein. Während die minimalen zurückgelegten Entfernungen kaum schwanken, unterscheiden sich die maximalen Entfernungen um

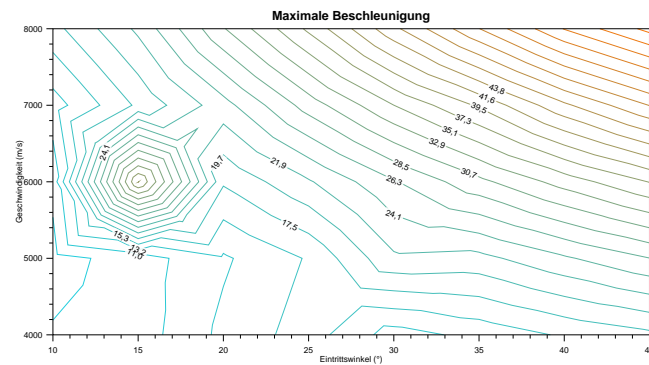


Abbildung 0.12: g -Kräfte für $L/D = 0,1$

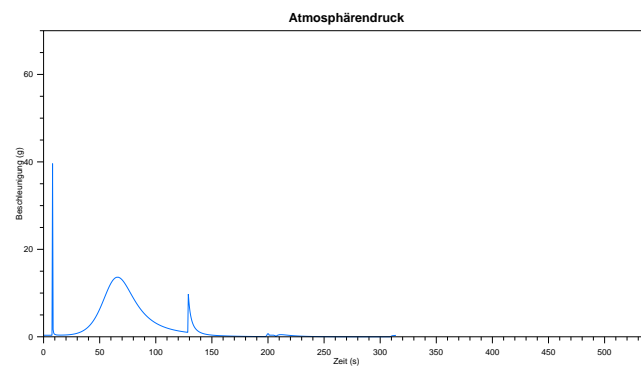


Abbildung 0.13: g für $L/D = 0,1$, $\alpha = 15^\circ$ und $v = 6000 \frac{m}{s}$

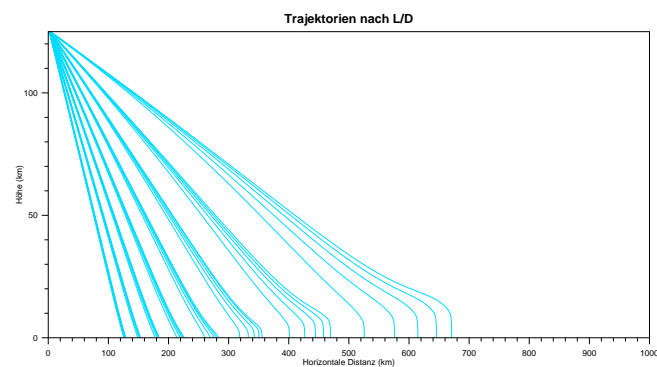


Abbildung 0.14: Alle Bahnen für $L/D = 0,1$

34 km. Beim Schritt davor betrug diese Differenz 76 km. Das ist darauf zurückzuführen, dass sich nun annähernd oder zeitweise tatsächlich horizontale Flugbahnen auf einer Höhe

von 7 (hohe Winkel) bis 30km (kleine Winkel) ergeben. Das erlaubt es der Kapsel, längere Bewegungsenergie in Reibungskräfte umzuwandeln. Deshalb wird schneller die Grenze von Mach 2 unterschritten, ab der der Fallschirm ausgebracht werden kann.

Die Maximalbeschleunigungen entwickeln sich ebenfalls entlang der bisher beobachteten Richtung. Bei gleichem $\alpha = 22^\circ$ erhöht sich die mögliche Geschwindigkeit für $g > 20$ von $6055 \frac{m}{s}$ auf $6217 \frac{m}{s}$. Das lokale Maximum zieht sich deutlich zusammen, ohne jedoch bei diesem Schritt den Extremwert im Zentrum nennenswert zu erhöhen. Selbst für den Flug direkt im Zentrum des lokalen Maximums ($\alpha = 22^\circ, v = 6000 \frac{m}{s}$) flacht sich die g-Kurve deutlich ab (0.16)

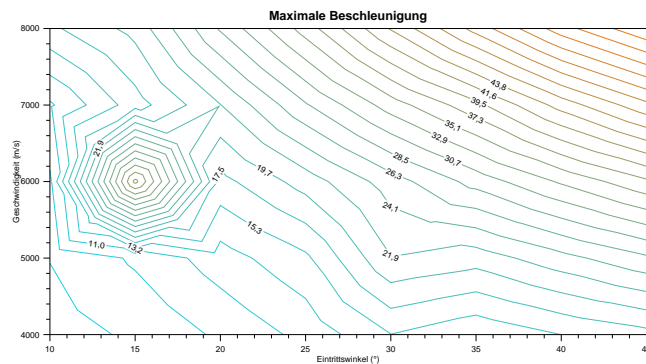


Abbildung 0.15: g-Konturen für $L/D = 0,2$

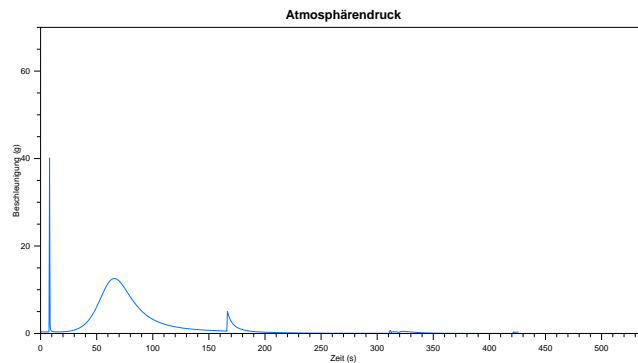
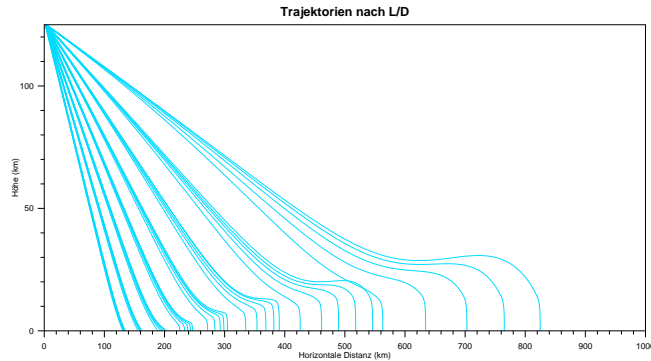


Abbildung 0.16: g für $L/D = 0,2$, $\alpha = 15^\circ$ und $v = 6000 \frac{m}{s}$

$L/D = 0,3$ Die Ergebnisse für L/D sind noch stärker vom Winkel abhängig, als die bisherigen. Für steilere Winkel werden extreme Bahnen theoretisch möglich. Die "extremste"

Abbildung 0.17: Alle Bahnen für $L/D = 0, 2$

erfolgreiche Landung ist hierbei hier die mit den Werten $\alpha = 22^\circ$ und $v = 6000 \frac{m}{s}$. Ob sie angesichts der extremen g -Entwicklung jedoch realistisch ist, bleibt fraglich. Bei unwesentlich größeren Winkeln beginnen die Bahnen, an der Atmosphäre abzuprallen. Die maximal zurückgelegte Entfernung beträgt hierbei $\simeq 1200 km$. Das ist ca. ein Drittel des Mars-Radius. Bei dieser Entfernung dürfte die Krümmung der Oberfläche einen deutlichen Einfluss haben, wodurch sich Zweifel am Realismusgrad der Trajektorien für 10° ergeben. Falls, wie zu vermuten, die Oberflächenkrümmung eine entscheidende Rolle spielt, müsste sich eine Form ergeben, bei der die Kapsel in mehrmals an der unteren Atmosphäre abprallt. Vergleichbar mit einem auf Wasser geflippten Stein würde sie bei jedem Eintritt Energie verlieren, bis die Geschwindigkeit zum Eintritt reicht. Solche Formen dürften extrem schwer mit Präzision zu planen sein. Unabhängig von der Qualität der Modelle gibt es eintretende unvorhersehbare Störfaktoren (insbesondere Wind), die nicht einkalkuliert werden können.

Das lokale Maximum bleibt erhalten. Die Erhöhung des L/D -Werts erlaubt es wieder, sich dessen Zentrum anzunähern, ohne die gewünschte g -Zahl zu überschreiten. Die Höhe des Zentrums verändert sich dabei für selbst für 6 Nachkommastellen nicht. Es entwickelte sich eine ausgeprägte Zunge mit relativ niedrigen g -Werten ($\leq 24, 1$), deren Entwicklung sich über die gesamten Werte von L/D ebenfalls gut verfolgen lässt.

0.3.4 Zusammenfassung

Wenn man die theoretisch möglichen Eintrittswinkel mit den Ausgängen anreichert, ergibt sich, dass von den betrachteten Variablen der Eintrittswinkel die wichtigste Größe ist. Steile Eintrittswinkel führen zu Abstürzen oder im Vergleich zu flacheren Winkeln ungleich höheren Beschleunigungs- und Hitzewerten. Zum Teil kann in diesem Bereich durch Ma-

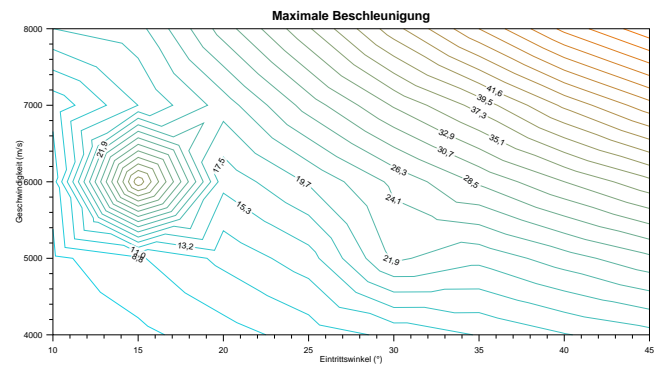


Abbildung 0.18: g -Kräfte für $L/D = 0,3$

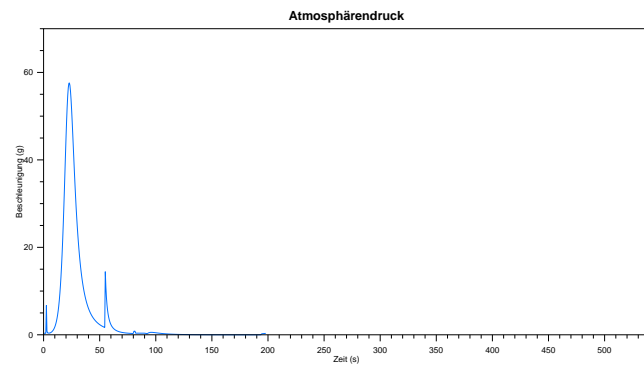


Abbildung 0.19: g für $L/D = 0,3$, $\alpha = 40^\circ$ und $v = 8000 \frac{m}{s}$

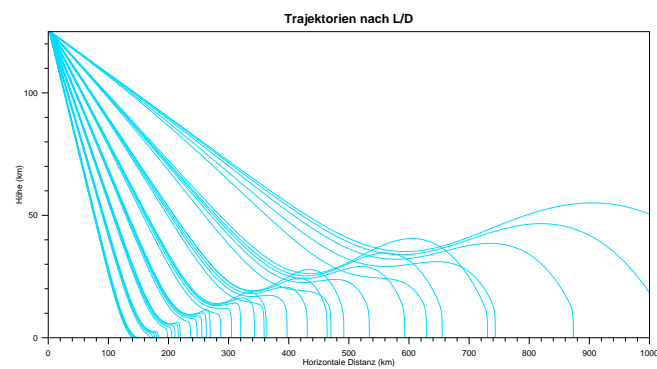


Abbildung 0.20: Alle Bahnen für $L/D = 0,3$

terialforschung zumindest für Ladungen, die hohe G-Kräfte aushalten, noch Spielraum erarbeitet werden.

Betrachtet man die dadurch entstehenden Korridore für Eintrittswinkel als gegeben, fängt der Gleitwert an, eine entscheidende Rolle zu spielen. Im Vergleich zum Flugzeugbau minimale Verbesserungen des L/D -Werts eröffnen deutliche Spielräume im Vergleich zum freien Fall ohne Auftrieb. Als allgemeines Phänomen ist eine Verteilung der g-Kräfte über die Zeit zu beobachten. Das ist dadurch bedingt, dass die Zeit in der Atmosphäre maximiert werden kann. Der Einstieg in die tieferen Schichten der Atmosphäre ist flacher, was die Druckgradienten positiv beeinflusst.

Vor Erstellung der Arbeit unerwartet war das Bestehen des lokalen Maximums der g-Kräfte unabhängig vom L/D -Wert. Bei der Recherche bewegten sich viele Ausgangspunkte in der Nähe dieses lokalen Maximums. Das legt nun die Vermutung nahe, dass dieses absichtlich ausgenutzt wird, um die gewünschte Bremswirkung zu dosieren, ohne sich den Risiken der anderen Extrema auszusetzen.

0.4 Ausblick

Das Modell könnte an vielen Stellen verbessert und ausgebaut werden. Das Auslassen der Oberflächenkrümmung des Mars schränkt das besonders sowohl für die Spanne der Gleitwerte, als auch für die Eintrittswinkel ein. Für diese Arbeit wurde der L/D als konstant angenommen. Durch das Ändern des Angriffswinkels der Kapsel kann dieser allerdings variiert werden. Es bietet sich an, die Zugewinne durch einen dynamisch steuerbaren Auftrieb zu untersuchen. Dazu müsste das Modell um "echte" Rotation erweitert werden. Dadurch eröffnete sich auch die Möglichkeit, eine größere Spannweite von Fahrzeugen abzubilden. Besonders interessant wären Raketen mit der Möglichkeit, zur Erde zurück zu kehren.

Als etwas kleinere Weiterentwicklungen kommen unter anderem die Annahmen zum Übergang der Landephase in Betracht. Auch könnte die dynamische Flächenberechnung deutlich genauer aufgelöst werden. Das würde die Abbildung anderer Objekte unterstützen. Als letzter großer Punkt bleibt das System der dynamischen Parameter. Es liefert zwar eine Annäherung an die echten Verhältnisse. Besser wäre aber eine dynamische Berechnung statt des tabellarischen Abspulens fester Werte.

0.5 Fazit

Um die eingehend beschriebenen Forschungsfragen zu beantworten, wurde ein Modell implementiert und dessen Ergebnisse untersucht. Es hat sich gezeigt, dass dieses Modell - obwohl

von der Realität noch weit entfernt - innerhalb gewisser Grenzen annähernd realistische Ergebnisse liefert. Es bildet einen guten Grundstein für potentielle weitere Untersuchungen.

Insbesondere können die Forschungsfragen wie folgt beantwortet werden: Der Gleitfaktor hat nach dem Eintrittswinkel den größten Einfluss auf die realistischen Trajektorien. Insbesondere kann eine gleitende Kapsel die auftretenden Beschleunigungskräfte und damit Hitzeentwicklung gleichmäßiger verteilen. Eine erhöhte L/D erlaubt es, den Bereich des Möglichen für Faktoren wie die Geschwindigkeit oder den Eintrittswinkel zu vergrößern.

Hiermit versichere ich, dass ich die vorliegende Arbeit ohne fremde Hilfe selbständig verfasst und nur die angegebenen Hilfsmittel benutzt habe.

Hamburg, 1. Januar 2345 Moritz Mustermann